

1. 空间 3R 肘机械臂各齐次变换矩阵有：

$$\begin{aligned} {}^0T_1 &= \begin{bmatrix} \cos \theta_1 & 0 & -\sin \theta_1 & 0 \\ \sin \theta_1 & 0 & \cos \theta_1 & 0 \\ 0 & -1 & 0 & d_1 \\ 0 & 0 & 0 & 1 \end{bmatrix} \\ {}^1T_2 &= \begin{bmatrix} \cos \theta_2 & -\sin \theta_2 & 0 & a_2 \cos \theta_2 \\ \sin \theta_2 & \cos \theta_2 & 0 & a_2 \sin \theta_2 \\ 0 & 0 & 1 & 0 \\ 0 & 0 & 0 & 1 \end{bmatrix} \\ {}^2T_3 &= \begin{bmatrix} \cos \theta_3 & -\sin \theta_3 & 0 & a_3 \cos \theta_3 \\ \sin \theta_3 & \cos \theta_3 & 0 & a_3 \sin \theta_3 \\ 0 & 0 & 1 & 0 \\ 0 & 0 & 0 & 1 \end{bmatrix} \end{aligned}$$

故位置级正运动学方程为：

$${}^0T_3 = {}^0T_1 \cdot {}^1T_2 \cdot {}^2T_3 = \begin{bmatrix} \cos \theta_1 \cos(\theta_2 + \theta_3) & -\cos \theta_1 \sin(\theta_2 + \theta_3) & -\sin \theta_1 & x \\ \sin \theta_1 \cos(\theta_2 + \theta_3) & -\sin \theta_1 \sin(\theta_2 + \theta_3) & \cos \theta_1 & y \\ -\sin(\theta_2 + \theta_3) & -\cos(\theta_2 + \theta_3) & 0 & z \\ 0 & 0 & 0 & 1 \end{bmatrix}$$

其中位置向量为：

$${}^0P_3 = \begin{bmatrix} x \\ y \\ z \end{bmatrix} = \begin{bmatrix} \cos \theta_1(a_2 \cos \theta_2 + a_3 \cos(\theta_2 + \theta_3)) \\ \sin \theta_1(a_2 \cos \theta_2 + a_3 \cos(\theta_2 + \theta_3)) \\ d_1 - a_2 \sin \theta_2 - a_3 \sin(\theta_2 + \theta_3) \end{bmatrix}$$

下面计算圆轨迹参数方程：

由圆心及轨迹上点的坐标计算圆半径为：

$$r = \|P_0 - O_c\| = \sqrt{0.2^2 + 0.1^2 + 0.2^2} = 0.3$$

构建圆弧的局部坐标系。设  $x$  沿  $P_0 - O_c$  方向：

$$i = \frac{P_0 - O_c}{\|P_0 - O_c\|} = \begin{bmatrix} 0.6667 \\ 0.3333 \\ 0.6667 \end{bmatrix}$$

为确定圆弧平面上的  $j$  矢量，利用  $P_f$  构造圆弧平面的法向量：

$$n = (P_0 - O_c) \times (P_f - O_c) = \begin{bmatrix} 0.2 \\ 0.1 \\ 0.2 \end{bmatrix} \times \begin{bmatrix} 0.1 \\ -0.2 \\ -0.2 \end{bmatrix} = \begin{bmatrix} 0.02 \\ 0.06 \\ -0.05 \end{bmatrix}$$

归一化得到  $k$  矢量（垂直于圆弧平面）：

$$k = \frac{n}{\|n\|} = \frac{1}{\sqrt{0.02^2 + 0.06^2 + 0.05^2}} \begin{bmatrix} 0.02 \\ 0.06 \\ -0.05 \end{bmatrix} = \begin{bmatrix} 0.2481 \\ 0.7442 \\ -0.6202 \end{bmatrix}$$

最后由右手系法则得：

$$j = k \times i = \begin{bmatrix} 0.7029 \\ -0.5788 \\ -0.4134 \end{bmatrix}$$

从  $P_0$  到  $P_f$  的圆心角为：

$$\phi_f = \arccos \left( \frac{(P_0 - O_c) \cdot (P_f - O_c)}{\|P_0 - O_c\| \|P_f - O_c\|} \right) = 116.39^\circ$$

圆轨迹参数方程为：

$$P(\lambda) = O_c + r(\cos(\phi_0 + \lambda(\phi_f - \phi_0)) \cdot i + \sin(\phi_0 + \lambda(\phi_f - \phi_0)) \cdot j) \quad \lambda \in [0, 1]$$

下面将参数时序化：

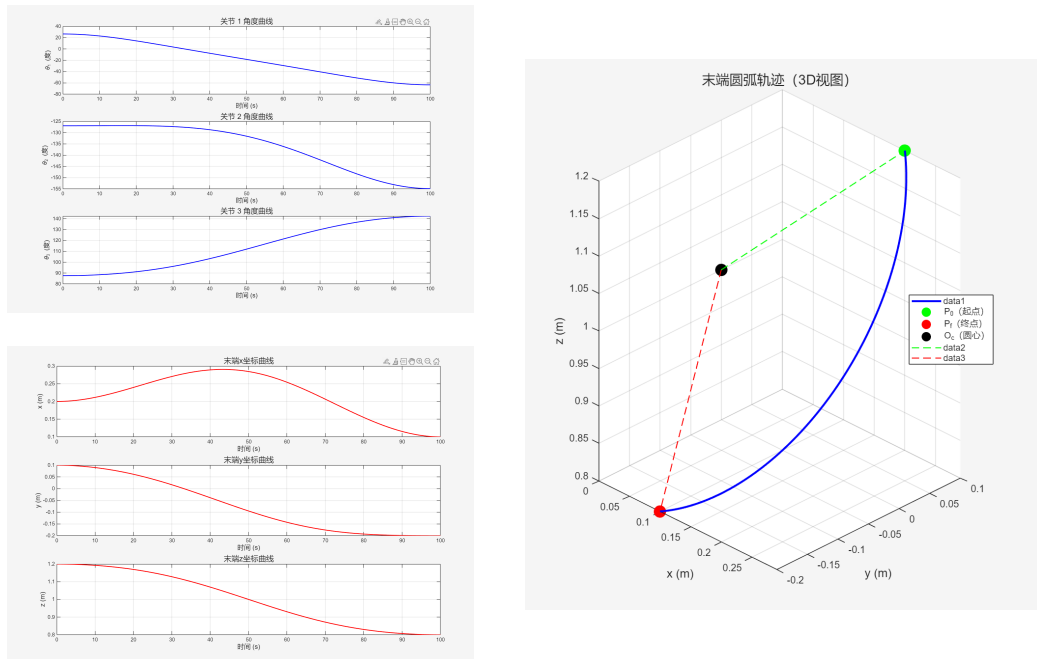
采用三次多项式进行时间规划：

$$\lambda(t) = a_0 + a_1 t + a_2 t^2 + a_3 t^3$$

满足边界条件： $\lambda(0) = 0, \dot{\lambda}(0) = 0, \lambda(t_f) = 1, \dot{\lambda}(t_f) = 0$ 。确定为：

$$\lambda(t) = 3\left(\frac{t}{t_f}\right)^2 - 2\left(\frac{t}{t_f}\right)^3$$

求解得机器人关节角，末端位置曲线及3D轨迹如下：



附 Matlab 程序：

```

1 clear; clc; close all;
2 %% 参数设置
3
```

```

4 % 机械臂DH参数
5 d1 = 0.5; % m
6 a2 = 0.4; % m
7 a3 = 0.6; % m
8
9 % 关节初值
10 theta0_deg = [26.5651; -126.9498; 87.6120];
11 theta0 = deg2rad(theta0_deg); % 转换为弧度
12
13 % 关键点坐标
14 p0 = [0.2; 0.1; 1.2]; % 起点 P_θ
15 pf = [0.1; -0.2; 0.8]; % 终点 P_f
16 Oc = [0; 0; 1]; % 圆心 O_c
17
18 % 时间参数
19 tf = 100; % 总时间 100s
20 dt = 0.1; % 采样周期 0.1s
21 t = 0:dt:tf; % 时间序列
22 N = length(t); % 采样点数
23
24
25
26 %% 圆弧轨迹规划
27 % 圆弧半径
28 r = norm(p0 - Oc);
29 fprintf('圆弧半径 r = %.4f m\n\n', r);
30
31 % 构建圆平面坐标系基向量 i, j, k
32 i_vec = (p0 - Oc) / norm(p0 - Oc);
33 fprintf('i = [% .4f, %.4f, %.4f]^T\n', i_vec(1), i_vec(2), i_vec(3));
34
35 v0 = p0 - Oc;
36 vf = pf - Oc;
37 n = cross(v0, vf);
38 fprintf('法向量 n = [% .4f, %.4f, %.4f]^T\n', n(1), n(2), n(3));
39
40 k_vec = n / norm(n);
41 fprintf('k = [% .4f, %.4f, %.4f]^T\n', k_vec(1), k_vec(2), k_vec(3));
42
43 j_vec = cross(k_vec, i_vec);
44 fprintf('j = [% .4f, %.4f, %.4f]^T\n', j_vec(1), j_vec(2), j_vec(3));
45
46 % 从 P_θ 到 P_f 的圆心角
47 cos_phi_f = dot(v0, vf) / (norm(v0) * norm(vf));
48 phi_f = acos(cos_phi_f);
49 fprintf('P_θ 到 P_f 的圆心角 phi_f = %.2f 度\n', rad2deg(phi_f));
50
51
52
53 %% 时间规划 (三次多项式)
54 tau = t / tf; % 归一化时间 [0,1]
55 lambda = 3*tau.^2 - 2*tau.^3;
56 lambda_dot = (6*tau - 6*tau.^2) / tf;
57 lambda_ddot = (6 - 12*tau) / tf.^2;
58
59
60
61 %% 生成圆弧轨迹
62 p_traj = zeros(3, N);

```

```

63
64 phi_0 = 0; % 起点对应角度为 θ
65 for i = 1:N
66     % 当前角度
67     phi = phi_0 + lambda(i) * (phi_f - phi_0);
68     % 圆弧轨迹
69     p_traj(:, i) = Oc + r * (cos(phi) * i_vec + sin(phi) * j_vec);
70 end
71
72
73
74 %% 逆运动学求解
75 theta_traj = zeros(3, N);
76
77 % 定义目标函数: 最小化正运动学误差的平方和
78 objective = @(theta, p_target) norm(forward_kinematics(theta, d1, a2, a3) - p_target)^2;
79
80 % 设置求解器选项
81 options = optimset(...,
82                     'Display', 'off', ... % 不显示迭代信息
83                     'TolFun', 1e-12, ... % 函数容差
84                     'TolX', 1e-10, ... % 变量容差
85                     'MaxIter', 1000, ... % 最大迭代次数
86                     'MaxFunEvals', 3000); % 最大函数评估次数
87
88 fprintf('\n开始逆运动学求解...\n');
89
90 for i = 1:N
91     p_target = p_traj(:, i);
92
93     % 使用前一时刻的解作为初值 (第一次使用给定初值)
94     if i == 1
95         theta_init = theta0;
96     else
97         theta_init = theta_traj(:, i-1);
98     end
99
100    % 使用 fminsearch 求解 (最小化误差)
101    [theta_sol, fval, exitflag] = fminsearch(@(theta) objective(theta, p_target), ...
102                                              theta_init, options);
103
104    % 检查求解状态和精度
105    if exitflag <= 0
106        warning('在时刻 t=%.2f 处逆运动学求解未收敛, exitflag=%d', t(i), exitflag);
107    end
108    if fval > 1e-6
109        warning('在时刻 t=%.2f 处逆运动学求解精度较低, 残差=%.6f', t(i), sqrt(fval));
110    end
111
112    theta_traj(:, i) = theta_sol;
113
114    % 每100个点显示一次进度
115    if mod(i, 100) == 0
116        fprintf('已完成 %d/%d 点 (%.1f%%)\n', i, N, 100*i/N);
117    end
118 end
119
120 fprintf('逆运动学求解完成! \n');
121

```

```

122 % 转换为角度
123 theta_traj_deg = rad2deg(theta_traj);
124
125
126
127 %% 验证正运动学
128 % 验证起点的正运动学
129 p0_verify = forward_kinematics(theta0, d1, a2, a3);
130 fprintf('\n正运动学验证 (初始关节角对应位置) :\n');
131 fprintf('关节角: theta = [% .4f, %.4f, %.4f]^T (度)\n', theta0_deg(1), theta0_deg(2), theta0_deg(3));
132 fprintf('给定起点: P_0 = [% .4f, %.4f, %.4f]^T\n', p0(1), p0(2), p0(3));
133 fprintf('正运动学计算: P = [% .4f, %.4f, %.4f]^T\n', p0_verify(1), p0_verify(2), p0_verify(3));
134 fprintf('误差: %.6f m\n', norm(p0 - p0_verify));
135
136
137
138 %% 绘图
139 % 关节角曲线
140 figure('Name', '关节角曲线', 'Position', [100, 100, 1200, 800]);
141 for i = 1:3
142 subplot(3, 1, i);
143 plot(t, theta_traj_deg(i, :), 'b-', 'LineWidth', 1.5);
144 grid on;
145 xlabel('时间 (s)', 'FontSize', 12);
146 ylabel(['\theta' num2str(i) '(度)'], 'FontSize', 12);
147 title(['关节 ' num2str(i) ' 角度曲线'], 'FontSize', 14);
148 xlim([0, tf]);
149 end
150
151 % 末端位置曲线
152 figure('Name', '末端位置曲线', 'Position', [150, 150, 1200, 800]);
153 coords = {'x', 'y', 'z'};
154 for i = 1:3
155 subplot(3, 1, i);
156 plot(t, p_traj(i, :), 'r-', 'LineWidth', 1.5);
157 grid on;
158 xlabel('时间 (s)', 'FontSize', 12);
159 ylabel([coords{i} '(m)'], 'FontSize', 12);
160 title(['末端' coords{i} '坐标曲线'], 'FontSize', 14);
161 xlim([0, tf]);
162 end
163
164 % 3D轨迹
165 figure('Name', '3D轨迹', 'Position', [200, 200, 800, 800]);
166 plot3(p_traj(1, :), p_traj(2, :), p_traj(3, :), 'b-', 'LineWidth', 2);
167 hold on;
168
169 % 标记关键点
170 plot3(p0(1), p0(2), p0(3), 'go', 'MarkerSize', 12, 'MarkerFaceColor', 'g', 'DisplayName', 'P_0 (起点)');
171 plot3(pf(1), pf(2), pf(3), 'ro', 'MarkerSize', 12, 'MarkerFaceColor', 'r', 'DisplayName', 'P_f (终点)');
172 plot3(0c(1), 0c(2), 0c(3), 'ko', 'MarkerSize', 12, 'MarkerFaceColor', 'k', 'DisplayName', 'O_c (圆心)');
173
174 % 绘制从圆心到关键点的连线
175 plot3([0c(1), p0(1)], [0c(2), p0(2)], [0c(3), p0(3)], 'g--', 'LineWidth', 1);
176 plot3([0c(1), pf(1)], [0c(2), pf(2)], [0c(3), pf(3)], 'r--', 'LineWidth', 1);
177
178 grid on;
179 xlabel('x (m)', 'FontSize', 12);
180 ylabel('y (m)', 'FontSize', 12);

```

```
181 zlabel('z (m)', 'FontSize', 12);
182 title('末端圆弧轨迹 (3D视图) ', 'FontSize', 14);
183 legend('Location', 'best');
184 axis equal;
185 view(45, 30);
186
187
188
189 %% 辅助函数
190 % 正运动学函数
191 function p = forward_kinematics(theta, d1, a2, a3)
192     theta1 = theta(1);
193     theta2 = theta(2);
194     theta3 = theta(3);
195
196     x = cos(theta1) * (a2*cos(theta2) + a3*cos(theta2+theta3));
197     y = sin(theta1) * (a2*cos(theta2) + a3*cos(theta2+theta3));
198     z = d1 - a2*sin(theta2) - a3*sin(theta2+theta3);
199
200     p = [x; y; z];
201 end
```

2. 空间 3R 球腕机械臂各齐次变换矩阵有：

$$\begin{aligned} {}^0T_1 &= \begin{bmatrix} \cos \theta_1 & 0 & -\sin \theta_1 & 0 \\ \sin \theta_1 & 0 & \cos \theta_1 & 0 \\ 0 & -1 & 0 & d_1 \\ 0 & 0 & 0 & 1 \end{bmatrix} \\ {}^1T_2 &= \begin{bmatrix} \cos \theta_2 & 0 & \sin \theta_2 & 0 \\ \sin \theta_2 & 0 & -\cos \theta_2 & 0 \\ 0 & 1 & 0 & 0 \\ 0 & 0 & 0 & 1 \end{bmatrix} \\ {}^2T_3 &= \begin{bmatrix} \cos \theta_3 & -\sin \theta_3 & 0 & 0 \\ \sin \theta_3 & \cos \theta_3 & 0 & 0 \\ 0 & 0 & 1 & d_3 \\ 0 & 0 & 0 & 1 \end{bmatrix} \end{aligned}$$

故姿态级正运动学方程为：

$${}^0T_3 = {}^0T_1 \cdot {}^1T_2 \cdot {}^2T_3 = \begin{bmatrix} {}^0R_3 & {}^0P_3 \\ 0 & 1 \end{bmatrix}$$

其中旋转矩阵为：

$${}^0R_3 = \begin{bmatrix} \cos \theta_1 \cos \theta_2 \cos \theta_3 + \sin \theta_1 \sin \theta_3 & -\cos \theta_1 \cos \theta_2 \sin \theta_3 + \sin \theta_1 \cos \theta_3 & -\cos \theta_1 \sin \theta_2 \\ \sin \theta_1 \cos \theta_2 \cos \theta_3 - \cos \theta_1 \sin \theta_3 & -\sin \theta_1 \cos \theta_2 \sin \theta_3 - \cos \theta_1 \cos \theta_3 & -\sin \theta_1 \sin \theta_2 \\ -\sin \theta_2 \cos \theta_3 & \sin \theta_2 \sin \theta_3 & \cos \theta_2 \end{bmatrix}$$

位置向量为：

$${}^0P_3 = \begin{bmatrix} -d_3 \cos \theta_1 \sin \theta_2 \\ -d_3 \sin \theta_1 \sin \theta_2 \\ d_1 + d_3 \cos \theta_2 \end{bmatrix}$$

(1) 采用三次多项式进行时间规划：

$$s(t) = a_0 + a_1 t + a_2 t^2 + a_3 t^3$$

满足边界条件:  $s(0) = 0$ ,  $\dot{s}(0) = 0$ ,  $s(t_f) = 1$ ,  $\dot{s}(t_f) = 0$ , 其中  $t_f = 10$  s。

求解得:

$$\begin{cases} a_0 = 0 \\ a_1 = 0 \\ a_2 = \frac{3}{t_f^2} \\ a_3 = -\frac{2}{t_f^3} \end{cases}$$

因此归一化参数为:

$$s(t) = 3 \left( \frac{t}{t_f} \right)^2 - 2 \left( \frac{t}{t_f} \right)^3$$

对姿态角各分量进行插值:

$$\Phi(t) = \Phi_0 + (\Phi_f - \Phi_0) \cdot s(t)$$

其中初始姿态角  $\Phi_0 = [-157.8240^\circ, 46.0418^\circ, 70.4798^\circ]^T$ , 终止姿态角  $\Phi_f = [174.9616^\circ, 8.6492^\circ, 90.3813^\circ]^T$ 。

(2) 首先计算初始和终止姿态对应的旋转矩阵。xyz 动轴欧拉角对应的旋转矩阵为:

$$R = R_x(\phi)R_y(\theta)R_z(\psi)$$

计算得:

$$R_0 = R_x(-157.8240^\circ)R_y(46.0418^\circ)R_z(70.4798^\circ)$$

$$R_f = R_x(174.9616^\circ)R_y(8.6492^\circ)R_z(90.3813^\circ)$$

计算相对旋转矩阵:

$$R_{rel} = R_0^T R_f$$

从旋转矩阵转换至轴-角有：

$$\theta_{eq} = \arccos\left(\frac{\text{tr}(R_{rel}) - 1}{2}\right)$$

$$\mathbf{k} = \frac{1}{2 \sin \theta_{eq}} \begin{bmatrix} R_{32} - R_{23} \\ R_{13} - R_{31} \\ R_{21} - R_{12} \end{bmatrix}$$

采用五次多项式进行时间规划：

$$s(t) = a_0 + a_1 t + a_2 t^2 + a_3 t^3 + a_4 t^4 + a_5 t^5$$

满足边界条件:  $s(0) = 0, \dot{s}(0) = 0, \ddot{s}(0) = 0, s(t_f) = 1, \dot{s}(t_f) = 0, \ddot{s}(t_f) = 0$ 。

求解得：

$$\begin{cases} a_0 = a_1 = a_2 = 0 \\ a_3 = \frac{10}{t_f^3} \\ a_4 = -\frac{15}{t_f^4} \\ a_5 = \frac{6}{t_f^5} \end{cases}$$

因此：

$$s(t) = 10 \left(\frac{t}{t_f}\right)^3 - 15 \left(\frac{t}{t_f}\right)^4 + 6 \left(\frac{t}{t_f}\right)^5$$

对等效转角进行插值：

$$\theta(t) = \theta_{eq} \cdot s(t)$$

则每个  $t$  时刻相对旋转矩阵为：

$$R(t) = I + \sin \theta(t) \cdot K + (1 - \cos \theta(t)) \cdot K^2$$

其中  $K$  为等效转轴  $\mathbf{k} = [k_x, k_y, k_z]^T$  对应的反对称矩阵（斜对称矩阵），定义为：

$$K = \mathbf{k}^\times = \begin{bmatrix} 0 & -k_z & k_y \\ k_z & 0 & -k_x \\ -k_y & k_x & 0 \end{bmatrix}$$

两种规划方法对比如下：

### 方法 1 (三次多项式直接插值)：

- 优点：实现简单，计算量小
- 缺点：各姿态角分量独立插值，可能导致非最短路径旋转；角速度在端点虽然为零，但中间可能不够平滑

### 方法 2 (五次多项式等效转角插值)：

- 优点：基于等效转轴和转角，保证最短路径旋转；五次多项式使加速度在起止点为零，运动更加平滑；物理意义明确
- 缺点：计算稍复杂，需要旋转矩阵的转换

求解得到的姿态角曲线、角速度曲线及关节角曲线如下图所示。

附 Matlab 程序：

```

1 clear; clc; close all;
2
3 %% 参数设置
4 d1 = 0.3; % m
5 d3 = 0.5; % m
6
7 %% 初始关节角
8 theta0_deg = [20; -50; 100];
9 theta0 = deg2rad(theta0_deg);
10
11 %% 初始和终止姿态角 (xyz动轴欧拉角)
12 phi0_deg = [-157.8240; 46.0418; 70.4798];
13 phif_deg = [174.9616; 8.6492; 90.3813];
14 phi0 = deg2rad(phi0_deg);
15 phif = deg2rad(phif_deg);
16
17 %% 时间参数
18 tf = 10; % 总时间 10s
19 dt = 0.1; % 采样周期 0.1s
20 t = 0:dt:tf;
21 N = length(t);
22
23
24

```

```

25 %% 方法1
26 tau1 = t / tf;
27 s1 = 3*tau1.^2 - 2*tau1.^3;
28 s1_dot = (6*tau1 - 6*tau1.^2) / tf;
29
30 phil_traj = phi0 + (phif - phi0) .* s1;
31 phil_dot_traj = (phif - phi0) .* s1_dot;
32 phil_traj_deg = rad2deg(phil_traj);
33
34
35 %% 方法2)
36 R0 = euler_xyz_to_rotation(phi0);
37 Rf = euler_xyz_to_rotation(phif);
38 R_rel = R0' * Rf;
39 [theta_eq, k_axis] = rotation_to_axis_angle(R_rel);
40
41 tau2 = t / tf;
42 s2 = 10*tau2.^3 - 15*tau2.^4 + 6*tau2.^5;
43 theta_traj = theta_eq * s2;
44
45 phi2_traj = zeros(3, N);
46 phi2_dot_traj = zeros(3, N);
47
48 for i = 1:N
49     R_current = axis_angle_to_rotation(k_axis, theta_traj(i));
50     R_abs = R0 * R_current;
51     phi2_traj(:, i) = rotation_to_euler_xyz(R_abs);
52
53     if i > 1
54         phi2_dot_traj(:, i) = (phi2_traj(:, i) - phi2_traj(:, i-1)) / dt;
55     end
56 end
57
58 phi2_dot_traj(:, 1) = phi2_dot_traj(:, 2);
59 phi2_traj_deg = rad2deg(phi2_traj);
60
61
62 %% 计算关节角轨迹
63 thetal_traj = zeros(3, N);
64 for i = 1:N
65     if i == 1
66         theta_init = theta0;
67     else
68         theta_init = thetal_traj(:, i-1);
69     end
70
71     R_target = euler_xyz_to_rotation(phi1_traj(:, i));
72     thetal_traj(:, i) = inverse_kinematics_wrist(R_target, d1, d3, theta_init);
73 end
74
75 thetal_traj_deg = rad2deg(thetal_traj);
76
77 theta2_traj = zeros(3, N);
78 for i = 1:N
79     if i == 1
80         theta_init = theta0;
81     else
82         theta_init = theta2_traj(:, i-1);
83     end

```

```

84
85     R_target = euler_xyz_to_rotation(phi2_traj(:, i));
86     theta2_traj(:, i) = inverse_kinematics_wrist(R_target, d1, d3, theta_init);
87 end
88 theta2_traj_deg = rad2deg(theta2_traj);
89
90
91
92 %% 绘图
93 figure('Name', '末端姿态角变化曲线');
94 euler_labels = {'\phi (roll)', '\theta (pitch)', '\psi (yaw)'};
95 for i = 1:3
96     subplot(3, 1, i);
97     plot(t, phil_traj_deg(i, :), 'b-', 'LineWidth', 1.5, 'DisplayName', '方法1');
98     hold on;
99     plot(t, phi2_traj_deg(i, :), 'r--', 'LineWidth', 1.5, 'DisplayName', '方法2');
100    grid on;
101    xlabel('时间 (s)');
102    ylabel([euler_labels{i} ' (度)']);
103    legend('Location', 'best');
104 end
105
106 figure('Name', '末端角速度曲线');
107 for i = 1:3
108     subplot(3, 1, i);
109     plot(t, phil_dot_traj(i, :), 'b-', 'LineWidth', 1.5, 'DisplayName', '方法1');
110     hold on;
111     plot(t, phi2_dot_traj(i, :), 'r--', 'LineWidth', 1.5, 'DisplayName', '方法2');
112     grid on;
113     xlabel('时间 (s)');
114     ylabel(['\omega_ ' num2str(i) ' (rad/s)'']);
115     legend('Location', 'best');
116 end
117
118 figure('Name', '关节角曲线');
119 for i = 1:3
120     subplot(3, 1, i);
121     plot(t, theta1_traj_deg(i, :), 'b-', 'LineWidth', 1.5, 'DisplayName', '方法1');
122     hold on;
123     plot(t, theta2_traj_deg(i, :), 'r--', 'LineWidth', 1.5, 'DisplayName', '方法2');
124     grid on;
125     xlabel('时间 (s)');
126     ylabel(['\theta_ ' num2str(i) ' (度)'']);
127     legend('Location', 'best');
128 end
129
130 %% 辅助函数
131
132 % xyz动轴欧拉角旋转矩阵 (按 Rx * Ry * Rz 顺序)
133 function R = euler_xyz_to_rotation(phi)
134     alpha = phi(1); % 绕x轴
135     beta = phi(2); % 绕y轴
136     gamma = phi(3); % 绕z轴
137
138     Rx = [1, 0, 0;
139           0, cos(alpha), -sin(alpha);
140           0, sin(alpha), cos(alpha)];
141
142     Ry = [cos(beta), 0, sin(beta);

```

```

143      0, 1, 0;
144      -sin(beta), 0, cos(beta)];
145
146  Rz = [cos(gamma), -sin(gamma), 0;
147          sin(gamma), cos(gamma), 0;
148          0, 0, 1];
149
150  % 动轴欧拉角: 先绕固定轴X, 再绕新Y, 最后绕新Z
151  R = Rx * Ry * Rz;
152 end
153
154 % 旋转矩阵转xyz动轴欧拉角
155 function phi = rotation_to_euler_xyz(R)
156 % 从 R = Rx * Ry * Rz 提取欧拉角
157 % R(3,2) = sin(alpha)*cos(beta)*sin(gamma) + cos(alpha)*cos(gamma)
158 % R(2,3) = sin(alpha)*sin(gamma) + cos(alpha)*cos(beta)*cos(gamma)
159
160 beta = asin(R(1,3)); % sin(beta) = R(1,3)
161
162 if abs(cos(beta)) > 1e-6
163     alpha = atan2(-R(2,3), R(3,3));
164     gamma = atan2(-R(1,2), R(1,1));
165 else
166     % 万向锁情况
167     alpha = 0;
168     gamma = atan2(R(2,1), R(2,2));
169 end
170
171 phi = [alpha; beta; gamma];
172 end
173
174 % 旋转矩阵转等效轴角
175 function [theta, k] = rotation_to_axis_angle(R)
176     theta = acos((trace(R) - 1) / 2);
177
178 if abs(theta) < 1e-6
179     k = [0; 0; 1];
180     theta = 0;
181 else
182     k = (1 / (2*sin(theta))) * [R(3,2)-R(2,3); R(1,3)-R(3,1); R(2,1)-R(1,2)];
183     k = k / norm(k);
184 end
185 end
186
187 % 轴角转旋转矩阵 (罗德里格斯公式)
188 function R = axis_angle_to_rotation(k, theta)
189     K = [0, -k(3), k(2);
190           k(3), 0, -k(1);
191           -k(2), k(1), 0];
192
193     R = eye(3) + sin(theta)*K + (1-cos(theta))*(K*K);
194 end
195
196 % 球腕逆运动学
197 function theta = inverse_kinematics_wrist(R_target, d1, d3, theta_init)
198 % 简化的球腕逆运动学 (基于数值优化)
199 objective = @(th) norm(compute_wrist_rotation(th, d1, d3) - R_target, 'fro')^2;
200
201 options = optimset('Display', 'off', 'TolFun', 1e-10, 'TolX', 1e-10, 'MaxIter', 500);

```

```
202     theta = fminsearch(objective, theta_init, options);
203 end
204
205 % 计算球腕旋转矩阵
206 function R = compute_wrist_rotation(theta, d1, d3)
207     % 3R球腕的旋转矩阵计算
208     c1 = cos(theta(1)); s1 = sin(theta(1));
209     c2 = cos(theta(2)); s2 = sin(theta(2));
210     c3 = cos(theta(3)); s3 = sin(theta(3));
211
212     % 简化的球腕旋转
213     R = [c1*c2*c3-s1*s3, -c1*c2*s3-s1*c3, c1*s2;
214         s1*c2*c3+c1*s3, -s1*c2*s3+c1*c3, s1*s2;
215         -s2*c3, s2*s3, c2];
216 end
```